

I-27 和分変換による単純トラス橋の動的応答解析 —薄肉弾性はり理論との比較—

北見工業大学 正員 大島 俊之
北大工学部 正員 能町 純雄

1. まえがき

トラス橋の振動解析に於いて、最近、簡略法として、その固有振動数を計算するに必要と目的として、トラスの立体的構造を等価な薄肉弾性はりに置換し、これらに属する連立の振動方程式を誘導し、解析する手法が用いられてくるが、^{(1), (2)} 一方、本来は一種の構造物はパイスクリートな橋梁に於いて部材が結合された骨組構造であるため、高次の振動モードになると、上記仮定との間違、その挙動に差異を生じてくることか予想され、その程度はどの程度あるかを確かめなくてはならず、必要になるものと思われる。

本論文では、上路単純トラス橋を対象として解析を行ない、床版・床組は等値、等方性版と仮定し、これに帯極要素法を適用する。またトラス構造については、主構、上下僅構、対側構について橋梁の動的な力学的な振る舞いを考える際、各部分の質量は橋軸方向には橋梁に集中する Lumped Mass、またそれに直角な横断面内では、Consistent Mass として取り扱う方法による。

主構と床版・床組との結合状態については、理論的には一体として取り扱われることは少ないが、実際には弾性的に結合されており、本研究では比較のため、両者一体として基礎式を誘導した。しかし数値計算の結果からはこの動的性状にはあまり影響しないことが明らかとなった。

2. 解析理論

(a) 床版・床組のモデル化

床版・床組については、等方性版と仮定し、帯極要素法³⁾を適用して、図1のような一枚の帯極要素として、次のような関係式を用いる。

$$G_s h v_p^2 [K^S] \{U\}^T + P_s h [M^S] \{\ddot{U}\}^T = \{F\}^T \quad (1)$$

$$\{U\}^T = \{U_i, V_i, W_i, \theta_i, U_j, V_j, W_j, \theta_j\}$$

$$\{F\}^T = \{T_i, S_i, R_i, M_i, T_j, S_j, R_j, M_j\}, \quad \cdot \text{は時間}$$

に属する微分をあらわす。[K^S], [M^S] は (8 × 8) の対称行列で、

それと剛性、質量マトリクスを意味し、以下のような内容がある。

$$k_{11}^S = -\frac{b}{3} D_x^2 + \frac{1}{b v_p^2}, \quad k_{12}^S = \frac{-1+3\nu}{4} D_x, \quad k_{16}^S = -\frac{-1+\nu}{4} D_x$$

$$k_{15}^S = -\frac{b}{6} D_x^2 - \frac{1}{b v_p^2}, \quad k_{22}^S = -\frac{-1-\nu}{6} D_x^2 b + \frac{1}{b}, \quad k_{25}^S = -k_{16}^S$$

$$k_{26}^S = -\frac{-1-\nu}{12} D_x^2 b - \frac{1}{b}, \quad k_{55}^S = k_{11}^S, \quad k_{56}^S = -k_{12}^S, \quad k_{66}^S = k_{22}^S$$

$$k_{33}^S = r_p^2 \left\{ \frac{13}{35} D_x^2 b - \frac{12}{5b} D_x^2 + \frac{12}{b^3} \right\},$$

$$k_{34}^S = r_p^2 \left\{ \frac{11b^2}{210} D_x^2 - (\nu + \frac{1}{5}) D_x^2 + \frac{6}{b^2} \right\},$$

$$k_{37}^S = r_p^2 \left\{ \frac{9}{70} D_x^2 b + \frac{12}{5b} D_x^2 - \frac{12}{b^3} \right\}, \quad k_{47}^S = -k_{38}^S,$$

$$k_{44}^S = r_p^2 \left\{ \frac{b^2}{105} D_x^2 + \frac{4}{15} b D_x^2 + \frac{4}{b} \right\}, \quad k_{55}^S = k_{11}^S,$$

$$k_{56}^S = -k_{12}^S, \quad k_{66}^S = k_{22}^S, \quad k_{77}^S = k_{33}^S,$$

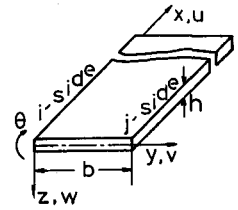


図1 帯極要素

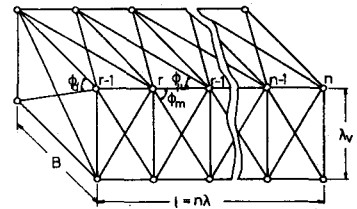
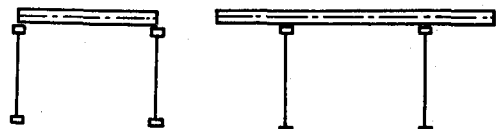


図2 クロスタイプモデルトラス



(a) 門型トラス (b) πトラス

図3 (a) 門型トラス (b) πトラス

$$k_{q8}^s = \left\{ -\frac{b^3}{140} D_x^3 + \frac{b}{15} D_x^2 + \frac{2}{b} \gamma_p^2, k_{38}^s = r_p^2 \left\{ -\frac{13}{420} b^2 D_x^4 - \frac{1}{5} D_x^2 + \frac{6}{b^2} \right\}, k_{78}^s = -k_{34}^s, k_{88}^s = k_{44}^s \right.$$

$$\begin{aligned} \gamma_p^2 &= 2/(1-\nu_s), r_p^2 = h^2/12, m_{11}^s = b/3, m_{15}^s = b/6, m_{22}^s = m_{11}^s, m_{26}^s = m_{15}^s, D_x = d/dx, \\ m_{47}^s &= -m_{38}^s, m_{48}^s = -b^3/140, m_{33}^s = 13b/35, m_{34}^s = 11b^2/210, m_{37}^s = 9b/70, m_{44}^s = b/105, \\ m_{38}^s &= -13b^2/420, m_{55}^s = m_{11}^s, m_{66}^s = m_{11}^s, m_{77}^s = m_{33}^s, m_{78}^s = -m_{34}^s, m_{88}^s = m_{44}^s, \\ \nu_s, \rho_s, h, \gamma_s & \text{ はそれぞれ床板のポアソン比, 密度, 厚さ, せん断弾性係数を表す。} \end{aligned}$$

(b) トラス構造のモデル化

図2のFのようなクロスゲイア2+1L型式のトラスを考え, 橋梁 z と対称構 x を考慮。中屋方向中央に対して左右対称な一軸対称断面構造を考慮, 橋梁 r (上弦材位置), 橋梁 r' (下弦材位置)に沿った水平橋軸と中屋方向, 鉛直鉛直 q 三方向について動的方程式を求めると次のようになる。

$$[K^t] \{u^t\} + [M^t] \{\ddot{u}^t\} = \{F^t\} \quad (2)$$

左辺 $\{u^t\}$ は $\{u_r, v_r, w_r, u_{r'}, v_{r'}, w_{r'}\}$, $\{F^t\} = \{T_r^t, S_r^t, R_r^t, 0, 0, 0\}$,
また $[K^t]$ は剛性マトリックスであり, E の内容は

$$\begin{aligned} k_{11}^t &= -K_d^m \Delta_r^2 + 2K_d^m \alpha_m^2 + 2K_d^m \alpha_{2u}^2 - K_d^m \alpha_{2u}^2 a (\Delta_r^2 + 2), k_{12}^t = K_d^m \alpha_{2u} \beta_{2u} a \Delta_r, k_{13}^t = k_{24}^t \\ &= k_{46}^t = k_{15}^t = 0, k_{14}^t = -K_d^m \alpha_m^2 (\Delta_r^2 + 2), k_{16}^t = -K_d^m \alpha_m \beta_m \Delta_r, k_{22}^t = K_d^m (1+a) + K_d^m \alpha_d^2 \\ &+ K_d^m \beta_{2u}^2 (2 + (\Delta_r^2 + 2)a), k_{23}^t = K_d^m \alpha_d \beta_d, k_{25}^t = K_d^m \alpha_d^2 a, k_{26}^t = -K_d^m \alpha_d \beta_d a, \\ k_{33}^t &= K_d^m + K_d^m \beta_d^2 + 2K_d^m \beta_m^2, k_{34}^t = -K_d^m \alpha_m \beta_m \Delta_r, k_{35}^t = K_d^m \alpha_d \beta_d a, k_{36}^t = -K_d^m - K_d^m \beta_d^2 a \\ &- K_d^m (\beta_m^2 (\Delta_r^2 + 2)), k_{45}^t = K_d^m \alpha_{2e} \beta_{2e} a \Delta_r, k_{47}^t = -K_d^m \Delta_r^2 + 2K_d^m \alpha_{2e}^2 - 2K_d^m \alpha_m^2 + K_d^m \alpha_{2e}^2 (\Delta_r^2 + 2), \\ k_{56}^t &= -K_d^m \alpha_d \beta_d, k_{55}^t = K_d^m \beta_{2e}^2 (2 + (\Delta_r^2 + 2)a) + K_d^m \alpha_d^2 + K_d^m (1+a), k_{66}^t = K_d^m + K_d^m \beta_d^2 - 2K_d^m \beta_m^2, \\ \text{また } K & \text{ 上 } \rightarrow \text{添字 } r, \beta, \alpha, \text{ (} \beta \text{ 下 } \rightarrow \text{添字 } m, 2u, 2e, d \text{ はそれぞれ主構, 上橋構, 下橋構, } \\ \text{対称構に関するものを表す } \rightarrow \text{と表示し, } K \text{ 下 } \rightarrow \text{添字 } u, d, v, l \text{ はそれぞれ上弦材, 斜材, 垂直材, } \\ \text{下弦材に関するものを表す } \rightarrow \text{と表示す。また } K, \alpha, \beta \text{ は部材断面種 } A \text{ と部材長 } l, \text{ および部材} \end{aligned}$$

$$K = EA/l, \alpha = \cos \phi, \beta = \sin \phi. \quad \begin{pmatrix} \Delta_r^2 f_r = f_{r+1} - f_{r-1} \\ \Delta_r^2 f_{r'} = f_{r+1} - 2f_r + f_{r-1} \end{pmatrix}$$

a は鉛直曲げ振動 a を 1 , ねじり振動 a を -1 とする。

$[K^t]$ は $k_{21}^t = -k_{12}^t, k_{31}^t = -k_{13}^t, k_{52}^t = -k_{25}^t$ を除いて対称な内容となる。

$[M^t]$ の内容は z と対称な省略するが, 質量に関する対角マトリックスであり, 橋梁は結合された部材 E , 橋軸方向には Lumped Mass, 橋断面方向には Consistent Mass として分布した質量を考慮して求める。

(c) 境界条件

本論文では主として鉛直曲げ振動の場合について考える。この場合は水平な中屋方向の変位 w が無視できるものと考えられるので, トラス構造の上下橋構と対称構の影響を無視して, 図3のFのような(a)門型トラス, (b)πトラスの形式について考える。床板とトラスの結合はトラス上弦材橋梁 z の部材 l が, 床板中央面の離散化した断面力 q をとりあうものとし, 橋梁位置 z が r でありを考慮。また r - l を用いた項数をトラスの橋梁数(橋軸方向)と同数にとるとすれば, 帯要素に関する r - l 変換とトラスに関する q 変換を合成して取り扱うことが可能となり, 全構造系に対する解を同時に求めることができる。

$$T_{0,1}^s(r) = T_{0,0}^t(r), R_{0,1}^s(r) = R_{0,0}^t(r), M_{0,1}^s(r) = 0 \quad (3)$$

ただし, 下 \rightarrow 添字 $(0,1)$ は床板の節線番号, $(0,0)$ はトラスの上, 下弦材位置を示す。記号 q の上の l は橋間長 l に関する積分を意味する。

以上より, 全構造系に対する r - l 変換後の基礎式は次のようになる。

$$[K] \{u\} + [M] \{\ddot{u}\} = \{F\} \quad (4)$$

(d) 動的応答解析

式(4)に於て単一集中荷重が等速度Vで進行する場合を仮定し、初期値零の条件により解析する。

固有振動に於ては、変位に固有振動を仮定し、

$$([K] - \omega_m^2 [M]) \{u\} = 0, \quad \text{ただし } \{u\} \neq 0 \quad \text{--- (5)}$$

より、 ω_m を求め、位相速度を計算される。

強制振動に於ては、荷重を変位ベクトル U の振動位相と同一位相を仮定し、荷重速度が位相速度と異なる場合、

$$\{u\} = ([K] - \mu_m^2 [M])^{-1} \{U\} \quad \text{--- (6)}$$

ただし μ_m は波数を表す。

また、一般解に於ては、初期変位、初期速度が零の条件より、未知係数を決定して、式(4)に対する変位の関数としての動的応答値を求める。

その結果をフーリエ変換し、変位が求まり、これを式(1)、(2)に代入して、応力、格差力などの応答値を求める。

本論文ではこれを簡して、概略の説明にとめたが、くわしくは文献(7)、(8)を参照していただきたい。

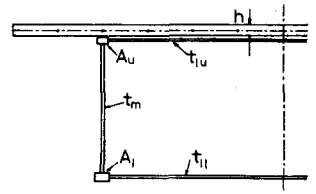


図4. 換算薄肉弾性はり

3. 薄肉弾性はり理論との比較 (図4参照)

式(2)に於て、図2のトラス構造が二軸対称断面の場合に於ては、式(2)全体を二割り、格間長を無限小に近づけると、

$$\lim_{\lambda \rightarrow 0} \frac{\Delta_r^2 U_r}{\lambda^2} = U''', \quad \lim_{\lambda \rightarrow 0} \frac{\Delta_r V_r}{\lambda} = 2V', \quad \lim_{\lambda \rightarrow 0} (\Delta_r^2 + b)U_r = 6U$$

の関係が成り、また V_r と V_r' の変位の対称性より、

$$U_r' = -U_r, \quad V_r' = -V_r, \quad W_r' = W_r$$

ただし右肩の添字は x に関する微分を表す。

鉛直曲げ振動の場合には $a=1$ となり、水平中量方向変位 V が無視し得るものとすれば、文献(1)の換算極限の式

$$t_{11} = \frac{E}{G} \frac{\lambda_r \lambda}{(\frac{U_r}{\Delta_r})^3}, \quad t_{22} = \frac{E}{G} \frac{B \cdot \lambda}{2A \Delta_r^2}, \quad t_{33} = \frac{E}{G} \frac{B \lambda}{2A \Delta_r^2}$$

を用いて、式(2)の式1と式3を置き換えて

$$-E A u U'' + 2 \frac{G}{\lambda_r} t_{11} U' - G t_{11} W'' = -m_{11} \ddot{U} \quad \text{--- (7)}$$

$$G t_{11} U' - \frac{G \lambda_r}{2} \frac{t_{11}}{\lambda^2} W = -m_{33} \ddot{W} \quad \text{--- (8)}$$

これを U を消すことは、文献(2)の式(13)と同型の Timoshenko はりに関する微分方程式が得られる。

なにより振動の場合にも $a=-1$ となり、上述と同様にして、式(2)の式1、式2、式3を变形するに依り、文献(2)の式(15)と同様の二軸対称箱型断面はりのなにより振動に関する微分方程式が得られる。

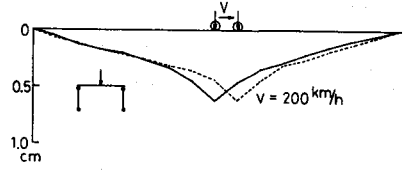
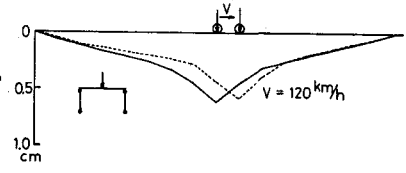


図5. 床板左端の動的応答値(30cm)

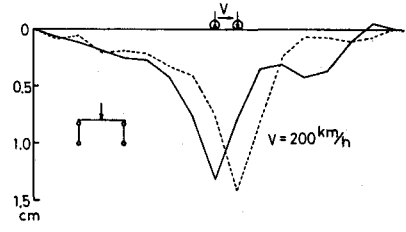
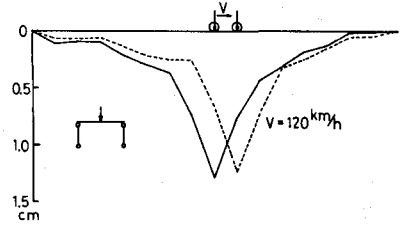


図6. 床板左端の動的応答値(20cm)

4. 数値計算例

数値計算例として、図5と図6にはI型トラスの床板 A を m の動的応答値を床板厚 $h=30\text{cm}$ と $h=20\text{cm}$ の場合に \rightarrow として示して示している。この計算には \rightarrow は荷重は中央に対して対称とし、鉛直曲げ振動のみを取り扱う。上下横構と対側構の影響は無視した。主構間隔は 8m とし、これを8等分割、張出部は 2m とし、2等分割して帯板要素としている。橋軸方向格間数 $n=16$ とする。

床板に関する弾性定数、密度は $E_s = 3 \times 10^5 \text{ kg/cm}^2$, $\nu_s = 0.18$, $G_s = E_s / 2(1 + \nu_s)$, $\rho_s g = 2.5 \text{ t/m}^3$ 。

また主構トラスの部材断面積は $A_u = 250 \text{ cm}^2$, $A_d = 180 \text{ cm}^2$, A_r は $h=30\text{cm}$ のとき 166 cm^2 , 20cm のとき 170 cm^2 。
 $\lambda = 5\text{m}$, $\lambda_u = 12\text{m}$, $\lambda_d = 13\text{m}$ 。 $E_t = 2.1 \times 10^6 \text{ kg/cm}^2$, $\rho_t g = 7.85 \text{ t/m}^3$, 荷重は 20t 。

図7と図8にはI型トラスと π トラスの位相速度分散曲線を橋軸の波数に対して示している。図中Timoshenko Beamとあるのは床板を含めたトラス構造を合成換算弾性ばりと置きかえて、曲げ振動 \rightarrow として、固有位相速度を計算した結果である。

波数の少ない範囲の両者は一致しているが、 $m=2$ 付近から少しづつ差が生じている。右に示す $C_s^2 = G_s / \rho_s$ 。

5. あとがき

以上、上路単純トラス橋の動的応答解析、および薄肉弾性ばり理論との比較について簡単に検討を加えた。

本論文の数値計算は高周波の振動が生じる範囲まで応答計算を行なったことになるが、換算弾性ばりとの差異は顕著ではないが、図7および図8はそれの一端を見るにすぎない。

しかし一般の進行速度の範囲ではSubcritical Speedの状態にあるので、一次曲げ振動モードが卓越し、換算弾性ばりによる結果は妥当なものとなるにすぎない。

参考文献

- 1) 小松、西村：薄肉弾性ばり理論によるトラスの立体解析，土木学会論文報告集，号238号，1975.6
- 2) 小松、西村：平行弦トラス橋の立体振動特性について，土木学会論文報告集，号297号，1980.5
- 3) 中村：断面変形を考慮した薄肉ばり振動解析，土木学会論文報告集，号223号，1974.3
- 4) 木、樋口、田中：断面変形を考慮した薄肉弾性ばり理論によるトラスの立体解析，土木学会論文報告集，号249号，1976.5
- 5) 木、田中、樋口：断面変形を考慮した薄肉弾性ばり理論によるトラス橋の立体振動解析，土木学会論文報告集，号261号，1977.5
- 6) 小坪、高西、島野、松下：高橋脚3スパン連続トラス橋の地震応答解析，土木学会論文報告集，号266号，1977.10
- 7) 能町、大島、岸：進行荷重による橋桁のワーンスワクトルについて，北海道支部論文集，号35号，1979.
- 8) 能町他：上路単純トラス橋の側向振動特性解析，同上，号36号，1980.

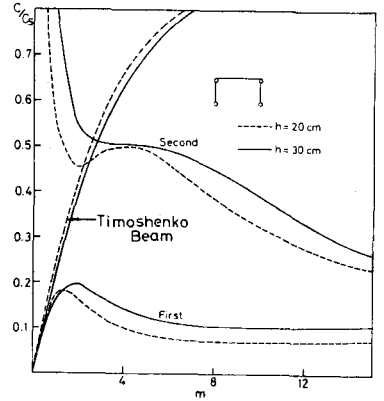


図7. 位相速度分散曲線

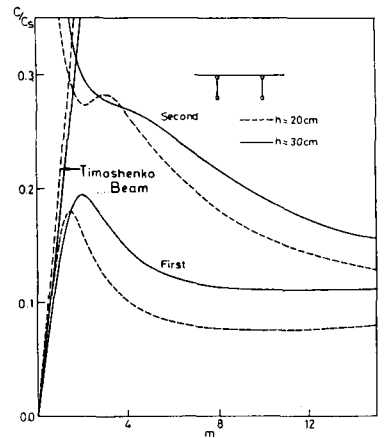


図8. 位相速度分散曲線